

(19) 日本国特許庁(JP)

(12) 特許公報(B2)

(11) 特許番号

特許第4523005号  
(P4523005)

(45) 発行日 平成22年8月11日(2010.8.11)

(24) 登録日 平成22年6月4日(2010.6.4)

(51) Int.Cl. F I  
G O 2 F 1/025 (2006.01) G O 2 F 1/025

請求項の数 14 (全 12 頁)

(21) 出願番号	特願2006-537401 (P2006-537401)	(73) 特許権者	506148707
(86) (22) 出願日	平成16年10月27日(2004.10.27)		フィルトロニク パブリック リミテッド
(65) 公表番号	特表2007-510180 (P2007-510180A)		カンパニー
(43) 公表日	平成19年4月19日(2007.4.19)		イギリス国, B D 1 8 3 T T ウェスト
(86) 国際出願番号	PCT/GB2004/004515		ヨークシャー, シブレイ, ソルテア, ソ
(87) 国際公開番号	W02005/052681		ルツ ミル ロード, ザ ウォーターフ
(87) 国際公開日	平成17年6月9日(2005.6.9)	(74) 代理人	100089118
審査請求日	平成19年9月12日(2007.9.12)		弁理士 酒井 宏明
(31) 優先権主張番号	0325095.8	(72) 発明者	クーヴァー, アトゥール
(32) 優先日	平成15年10月28日(2003.10.28)		イギリス国, D L 3 O B Q ダーリント
(33) 優先権主張国	英国 (GB)	(72) 発明者	ジョウ, イー
			イギリス国, D L 3 8 N E ダーリント
			ン, ネヴィル ロード 7 2
			最終頁に続く

(54) 【発明の名称】 共平面導波管線路

(57) 【特許請求の範囲】

【請求項 1】

表面および裏面を有する基板と、

前記基板の前記表面上にある中央電極ストリップと、

前記中央電極ストリップに対して互いに反対側に配置され、かつ前記中央電極ストリップに平行に延びている、第 1 および第 2 の電極ストリップと、

前記基板の前記表面上にある第 1 および第 2 の光導波路であって、前記第 1 の電極ストリップおよび中央電極ストリップのあいだに配置され、かつそれらに平行に延びている前記光導波路を備え、

前記中央電極は前記第 1 の光導波路の近傍に延びている少なくとも 1 つの T - レールを備え、

前記第 1 の電極は前記第 2 の光導波路の近傍に延びている少なくとも 1 つの T - レールを備え、

前記基板は前記第 1 および第 2 の光導波路間に延びている n+導電層を備え、

さらに、第 1 および第 2 の電極ストリップの間の電気接続を備える共平面導波管線路。

【請求項 2】

前記第 1 および前記第 2 の電極ストリップの間の電氣的接続はエアブリッジであることを特徴とする請求項 1 に記載の共平面導波管線路。

【請求項 3】

前記電氣的接続は、前記第 1 および第 2 の電極ストリップ間でワイヤボンディングされ

10

20

ていることを特徴とする請求項 1 に記載の共平面導波管線路。

【請求項 4】

前記第 1 および第 2 の電極ストリップ間の前記電氣的接続は、前記基板の前記裏面を  
通って延びていることを特徴とする請求項 1 に記載の共平面導波管線路。

【請求項 5】

前記第 1 および第 2 の電極ストリップ間に複数の電氣的接続を有することを特徴とする  
請求項 1 ~ 4 のいずれか一項に記載の共平面導波管線路。

【請求項 6】

前記電氣的接続は等間隔であることを特徴とする請求項 5 に記載の共平面導波管線路。

【請求項 7】

前記中央電極ストリップおよび前記第 1 の電極ストリップの少なくとも一方は、複数の  
T - レールを備えたことを特徴とする請求項 1 ~ 6 のいずれか一項に記載の共平面導波管  
線路。

【請求項 8】

前記 T - レールは等間隔であることを特徴とする請求項 7 に記載の共平面導波管線路。

【請求項 9】

前記 T - レールは、当該 T - レールに隣接する前記電極ストリップにエアーブリッジに  
より電氣的に接続された導電パッドを備えたことを特徴とする請求項 1 ~ 8 のいずれか一  
項に記載の共平面導波管線路。

【請求項 10】

前記第 1 の光導波路に隣接して伸びている前記 T - レールの導電パッドは前記第 1 の光  
導波路に当接し、前記第 2 の光導波路に隣接して伸びている前記 T - レールの導電パッド  
は前記第 2 の光導波路に当接していることを特徴とする請求項 9 に記載の共平面導波管線  
路。

【請求項 11】

前記基板は、前記第 1 の電極ストリップと前記第 2 の光導波路間の前記 n+導電層を  
通って延びる分離溝を備えたことを特徴とする請求項 1 ~ 10 のいずれか一項に記載の共  
平面導波管線路。

【請求項 12】

前記基板は、前記中央電極ストリップと前記第 1 の光導波路間の前記 n+導電層を通  
って延びる分離溝を備えたことを特徴とする請求項 1 ~ 11 のいずれか一項に記載の共平  
面導波管線路。

【請求項 13】

前記基板は、前記中央電極ストリップと前記第 2 の電極ストリップの間の前記 n+導電  
層を通して延びる分離溝を備えたことを特徴とする請求項 1 ~ 12 のいずれか一項に記載  
の共平面導波管線路。

【請求項 14】

請求項 1 ~ 13 のいずれか一項に記載の共平面導波管線路を備えたことを特徴とするマ  
ッハツェンダ変調器。

【発明の詳細な説明】

【技術分野】

【0001】

本発明は、本発明は共平面導波管線路に関するものである。本発明はまた、そのような  
共平面導波管線路を備えたマッハツェンダ ( M a c h - Z e h n d e r ) 変調器に関する  
ものである。

【背景技術】

【0002】

マッハツェンダ変調器を高周波信号の減衰器として使用することは周知である。非特許文  
献 ( アイトリプルイー・トランザクションズ・オン・マイクロウェーブ・セオリー・アンド  
・テクニクス第 47 巻第 7 号 1999 年 7 月号 ) はそのような装置の動作の背景的検

10

20

30

40

50

討を提供している。

【0003】

そのような変調器の帯域幅は装置を通過する光波とマイクロ波の間の伝搬速度の不整合に反比例する。典型的には、ガリウムヒ素のような基板を用いるときに、マイクロ波の速度を遅くして光波の速度に整合させて装置の帯域幅を広げようとするのが試みられる。ニオブ酸リチウム基板では逆のことが行われる。

【0004】

既知の共平面導波管線路は中央電極ストリップと、この中央電極ストリップのそれぞれの側の第1および第2の電極ストリップとを備える。使用時は、第1および第2の電極ストリップは中央電極ストリップとは反対の同じ極性を持つ。中央電極ストリップの両側からT-レールが第1および第2の光導波路の近くまで延びており、遅波効果を与える。

10

【0005】

そのような共平面導波管線路は一般に未ドーブ・エピタキシャル層とともに用いられる。これの利点はマイクロ波の損失が非常に低損失であることにある。しかしながら、光波とマイクロ波の間の重なりにより駆動電圧が高くなければならない。

【0006】

非対称共平面ストリップ線路も遅波構造として用いられる。非対称共平面ストリップは中央電極ストリップを欠いている。光導波路は第1および第2の平行電極ストリップの間に配置され、これらの平行電極ストリップは使用時に反対の極性を有する。T-レールがこれらストリップから導波路に延びている。

20

【0007】

【非特許文献1】アイトリプルイー・トランザクションズ・オン・マイクロウェーブ・セオリー・アンド・テクニクス第47巻第7号1999年7月号(IEEE Transactions on Microwave Theory and Techniques, Volume 47, No. 7, July 1999)

【発明の開示】

【発明が解決しようとする課題】

【0008】

共平面導波管線路を用いた場合と異なり、非対称共平面ストリップは、導波路間に延びている $n^+$ 導電層を含む基板上で用いられる。導電層を使用すると駆動電圧は低減されるが、マイクロ波損失は増加する。

30

【0009】

当技術においては、 $n^+$ 導電層を共平面導波路のエピタキシャル層に含めないことが知られている。これにより光波とマイクロ波の重なりが改善される(これにより駆動電圧が低下する)ものの、この結果、キャパシタンスが超過し、真のプッシュ・プル動作が不可能になる。

【課題を解決するための手段】

【0010】

従って、一態様において、本発明は、共平面導波管線路であって、  
 基板と、  
 前記基板上の中央電極ストリップと、  
 前記中央電極ストリップの反対側に配置され、かつそれらに平行に延びている、第1および第2の電極ストリップと、  
 前記基板上の第1および第2の光導波路であって、前記第1および第2の電極ストリップのあいだに配置され、かつそれらに平行に延びている前記光導波路を備え、  
 前記中央電極は前記第1の光導波路の近傍に延びている少なくとも1つのT-レールを備え、  
 前記第1の電極は前記第2の光導波路の近傍に延びている少なくとも1つのT-レールを備え、  
 前記基板は前記光導波路間に延びている $n^+$ 導電層を備え、

40

50

前記共平面導波管線路は、さらに、第1および第2の電極ストリップの間の電気接続を備える共平面導波管線路を提供する。

【0011】

本発明による共平面導波路の利点は、既知の共平面導波路の低マイクロ波損失を非対称共平面ストリップと $n^+$ 導電層との組合せの低駆動電圧に組み合わせたことにある。さらに、T-レールは中央電極の一方の側にのみ追加されるので、キャパシタンスを半分にすることが可能であり、伝送線路の設計の自由度がより大きくなり、かつ伝送線路をMMIC伝送線路設計に適用することが可能になる。

【0012】

さらに、共平面導波路と非対称共平面ストリップの間またはその逆の伝送に不連続性が存在することが知られている。これは、往々にして、装置の設計の際に、共平面導波路または非対称共平面ストリップの選択を限定することがある。本発明の共平面導波管線路と既知の導波路構造との間にはそのような不連続性は存在しない。

10

【0013】

好ましくは、第1および第2の電極ストリップの間の電気的接続はエアブリッジ (air bridge) である。この電気的接続は第1および第2の電極ストリップ間でワイヤボンディングすることが可能である。第1および第2の電極間の電気的接続は基板の裏面を通すことが可能である。そのような接続手段は、第1及び第2の電極ストリップを接続する、信頼性に富む比較的簡単な手段を提供する。

【0014】

20

好ましくは、共平面導波管線路は第1および第2の電極ストリップ間の複数の電気的接続を備え、これらの電気的接続は等間隔であることが好ましい。そのような多接続により、共平面導波路のキャパシタンスの負荷が不平衡であってもその影響が最小限になる。

【0015】

好ましくは、中央電極ストリップと第1の電極ストリップの少なくとも一方は複数のT-レール、好ましくは等間隔に設けたものを備える。

【0016】

T-レールは対応する電極ストリップにブリッジで接続された導体パッドを備える。好ましくは、導体パッドは光導波路に当接する。これにより、光波とマイクロ波の良好な重なりが保証される。

30

【0017】

基板は第1の分離溝を備えることが可能であり、この分離溝は第1の電極ストリップと光導波路の間の $n^+$ 導電層を通して延びている。基板は第2の分離溝を備えることが可能であり、この分離溝は中央電極ストリップと光導波路の間の $n^+$ 導電層を通して延びている。基板は第3の第2の分離溝を備えることが可能であり、この分離溝は中央電極ストリップと第2の電極ストリップの間の $n^+$ 導電層を通して延びている。

【0018】

本発明のさらなる態様において、本発明の共平面導波路を含むマッハツェンダ変調器が提供される。

【発明を実施するための最良の形態】

40

【0019】

以下に、添付図面を参照して本発明を例示的にのみ、そして如何なる意味においても非限定的に説明する。

【0020】

図1aおよび図1bに概略形状で示されているのはマッハツェンダ変調器(1)である。マッハツェンダ変調器(1)は入力および出力光導波路(2、3)と、それらに延びている2つの光路(4、5)とを備えている。2つの光路(4、5)は実質的に等しい長さである。

【0021】

使用時、コヒーレント光線をマッハツェンダ変調器(1)に導入する。この光線はほぼ

50

等しい半分同士に分割され、2つの別個の経路(4、5)を通過して出力導波路(3)に至る。光線は出力導波路(3)において再結合してから装置を出る。これら2つの経路が同じ長さであると仮定すると、2つの光線が再結合すると、それらは同位相であり、得られた出力光は入力光と同じ強度である。

【0022】

マッハツェンダ変調器(1)のアーム(4、5)の一方に(図1bに示すように)位相シフトを導入すると、2つの光線が再結合すると、それらは少し位相がずれる。この結果、出力光の強度が図示のように減少する。

【0023】

マッハツェンダ変調器のアーム(4、5)に位相シフトを導入する慣用方法が概略の形で図2に示されている。マッハツェンダ変調器(1)のアーム(4、5)のそれぞれのごく近傍に導電性電極ストリップ(6、7)がある。マイクロ波発生器(8)を電極ストリップ(6、7)に接続し、生じた電磁場がアーム(4、5)を通過する光と相互作用して光の位相を変化させる。図示のように、電極ストリップ(6、7)をプッシュ/プル構成で接続して2つの電極ストリップ(6、7)に印加される電圧の位相が180度ずれるようにするのが普通である。これにより、電磁波の位相変化効果が最大となる。

【0024】

マッハツェンダ変調器(1)の帯域は電極ストリップ(6、7)に沿うマイクロ波とマッハツェンダ変調器(1)のアーム(4、5)に沿う光波の間の伝搬速度の不整合により限定される。この帯域は下式により与えられる。

【0025】

【数1】

$$\Delta f_{3dB/TT} = \frac{1.4c_{ph}}{\pi(n_{opt} - n_{mw})L_T}$$

【0026】

GaAsに対して、 $n_{opt} = 2.64$ 、 $n_{mw} = 3.34$ 、そして $L_T = 0.01$ メートルであり、19GHzの3dB帯域が得られる。

【0027】

この問題を克服するために、そしてマッハツェンダ変調器(1)の帯域を広げるために、典型的には、装置を通るマイクロ波の伝搬速度を低減することが試みられる。本質的に、既知の遅波導波路構造の2つの形態 - 共平面導波管線路(9)および非対称共平面ストリップ線路(10)がある。

【0028】

図3に斜視図が示されているのは既知の非対称共平面ストリップ(ACPS)(10)である。ACPS(10)は基板(11)を備え、基板(11)上に第1および第2のストリップ電極(12、13)が配置されている。ストリップ電極(12、13)の間に配置され、かつそれらに平行に延びているのは第1および第2の光導波路(14、15)である。T-レール(16)がストリップ電極(12、13)から光導波路(14、15)の近傍に延びている。各T-レール(16)は光導波路(14、15)と当接する導電パッド(17)と、導電パッド(17)と対応するストリップ電極(12、13)の間に延びているエアブリッジ(18)とを備えている。

【0029】

基板(11)内には $n^+$ 導電層がある。図4から分かるように、 $n^+$ 導電層(19)は光導波路(14、15)の間に延びており、それらの間の電氣的接続を提供している。分離溝(20、21)が図示のように光導波路の両側で $n^+$ 導電層(19)を通過して延びている。 $n^+$ 導電層(19)は電極ストリップ(12、13)の下方に延びている。

【0030】

図5は図3および図4の非対称共平面ストリップ(10)を平面図で示す。両電極スト

10

20

30

40

50

リップ(12、13)は、関連する光導波路(14、15)まで延びている複数のT-レールを(16)を備えている。T-レール(16)は等間隔である。T-レール(16)はマイクロ波を遅らせ、帯域を増加させる。

【0031】

$n^+$ 導電層(19)の存在するため、非対称共平面ストリップ(10)は低駆動電圧しが必要としない。しかしながら、それらはマイクロ波損失特性が悪い傾向がある。

【0032】

図6に断面図で示したのは、既知の共平面導波管線路(9)である。共平面導波管線路(9)はGaAs基板(11)を備える。基板(11)上には、両側に第1および第2の電極ストリップ(12、13)を有する中央電極ストリップ(22)が配置されている。第1および第2の光導波路は第1の電極ストリップ(12)と中央電極ストリップ(22)の間、および中央電極ストリップ(22)と第2の電極ストリップ(13)の間にそれぞれ配置されている。T-レール(16)は中央電極ストリップ(22)の両側から延びており、また第1および第2の電極ストリップ(12、13)の両方から延びている。第2の電極ストリップ(13)および中央電極ストリップ(22)からのT-レール(16)は図示のように光導波路(14、15)に当接する。GaAs基板(11)は $n^+$ 導電層を含まない。

【0033】

$n^+$ 導電層が存在しない種、共平面導波管線路(9)はマイクロ波損失が非常に低い。しかしながら、駆動電圧は光波とマイクロ波の重なりが悪いため、かなり高くなければならない。

【0034】

共平面導波管線路(9)は図7に平面図で示すが、図7はT-レール(16)の反復的性質を示している。

【0035】

図8に示したのは本発明による共平面導波管線路(9)の断面図である。共平面導波管線路(9)は $n^+$ 導電層(19)を埋設したGaAs基板(11)を備える。基板(11)上に配置されているのは中央電極ストリップ(22)と、中央電極ストリップ(22)のそれぞれの側にあり、かつそれに向かって延びている第1および第2の電極ストリップ(12、13)である。2つの平行な光導波路(14、15)が第1の電極ストリップ(12)と中央電極ストリップ(22)の間にそれらに平行に延びている。T-レール(16)が第1の電極ストリップ(12)と中央電極ストリップ(22)から図示のように光導波路(14、15)に延びている。 $n^+$ 導電層(19)がこれら2つの光導波路(14、15)の下方に延びている。第1および第2の分離溝(20、21)が、図示のように、光導波路(14、15)のそれぞれの側へ $n^+$ 導電層(19)を通して延びている。第1および第2の電極ストリップ(12、13)はワイヤボンディング(23)により相互に接続されている。さらなる(図示しない)実施形態では、第1および第2の電極ストリップ(12、13)はエアブリッジにより接続されている。

【0036】

本発明による共平面導波管線路(9)のさらなる実施形態を図9に示す。この実施形態の共平面導波管線路(9)は、図示のように、 $n^+$ 導電層(19)が中央電極ストリップ(22)の下方から第2の電極ストリップ(13)に延びている以外は前述の実施形態と同様である。しかしながら、前述の実施形態のように、 $n^+$ 導電層(19)のこの延長部は光導波路(14、15)の下の $n^+$ 導電層(19)から第2の分離溝(21)により分離されている。第3の分離溝(24)が第2の電極ストリップ(13)と中央電極ストリップ(22)との間で $n^+$ 導電層(19)を通して延びている。

【0037】

図10に示されているのは、図9の共平面導波管線路(9)の平面図である。この図は電極ストリップ(12、22)に沿うT-レールの反復性を示す。第1および第2の電極ストリップ(12、13)は複数のエアブリッジ(25)により電氣的に接続され、工

10

20

30

40

50

アーブリッジ(25)は実質的に等間隔である。別の実施形態では、第1および第2の電極ストリップ(12、13)はワイヤボンディング(23)により電氣的に接続されている。

【0038】

図11に示されているのは、本発明による共平面導波管線路(9)のさらなる実施形態である。この実施形態は第1および第2の電極ストリップ(12、13)が基板を通して延びている電氣的接続(26)により接続されている事以外は図8に示す実施形態と同様である。

【0039】

図12および図13に示されているのは本発明による共平面導波管線路の性能に関するデータである。

10

【0040】

共平面導波管線路の測定されたSパラメータのS11およびS21の大きさを図12および図13にそれぞれ示す。図12および図13では、2つの曲線(plots)間の大きな差は接地ストラップが存在するか否かである。図13では、接地ストラップなしのCPWに対するS11スペクトルに、周波数が増加されたときに、強い共鳴が規則的に現れる。これらの共鳴は、図12に示すCPWに対するS21スペクトルにおけるリップルに相当する。これらの共鳴は第1および第2の電極ストリップの間をストラッピングすると消失した。接地ストラッピングを用いることでS21では30GHzまでの滑らかな共鳴およびS11では低い反射が実現された。

20

【0041】

第1および第2の電極ストリップ(12、13)の間に延びている電気接点は、中央電極ストリップ(22)の非対称な容量性負荷により共平面導波管線路の性能が不平衡になることがないようにしている。

【0042】

本発明の共平面導波管線路(9)は既知の共平面導波管線路および非対称共平面ストリップに対して多くの利点を有する。中央電極ストリップ(22)の一面のみにT-レール(16)により容量性負荷が与えられているので、これにより、伝送線路設計の選択の幅が大きくなり、伝送線路がMMIC伝送線路設計に適用し得るものになる。加えて、共平面導波管線路(9)はマイクロ波損失が少ないことと、駆動電圧が低く高速であるという利点を併せ持っている。また、ドープまたは非ドープ・エピタキシャル層上の共平面導波路と非対称共平面ストリップの間の選択をすべきときに制限がない。

30

【図面の簡単な説明】

【0043】

【図1a】マッハツェンダ変調器を示す概略図である。

【図1b】マッハツェンダ変調器を示す概略図である。

【図2】マッハツェンダ変調器および付随する電極ストリップのさらなる概略図である。

【図3】既知の非対称共平面ストリップを示す斜視図である。

【図4】図3の非対称共平面ストリップを示す断面図である。

【図5】図3および図4の非対称共平面ストリップを示す平面図である。

40

【図6】既知の共平面導波路ストリップを示す断面図である。

【図7】図6の共平面導波路ストリップを示す平面図である。

【図8】本発明による共平面導波管線路の第1の実施形態を示す断面図である。

【図9】本発明による共平面導波管線路の第2の実施形態を示す断面図である。

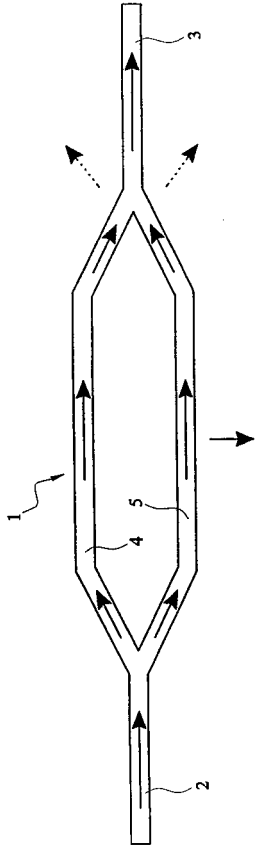
【図10】図9の共平面導波管線路を示す平面図である。

【図11】本発明による共平面導波管線路のさらなる実施形態を示す図である。

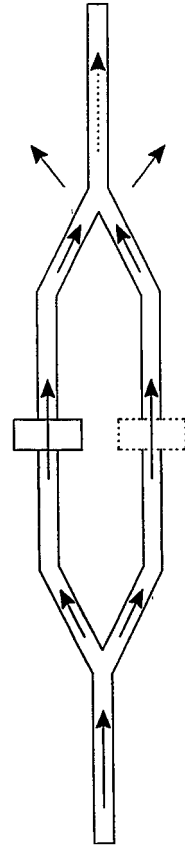
【図12】本発明による共平面導波管線路の性能データを示す図である。

【図13】本発明による共平面導波管線路の性能データを示す図である。

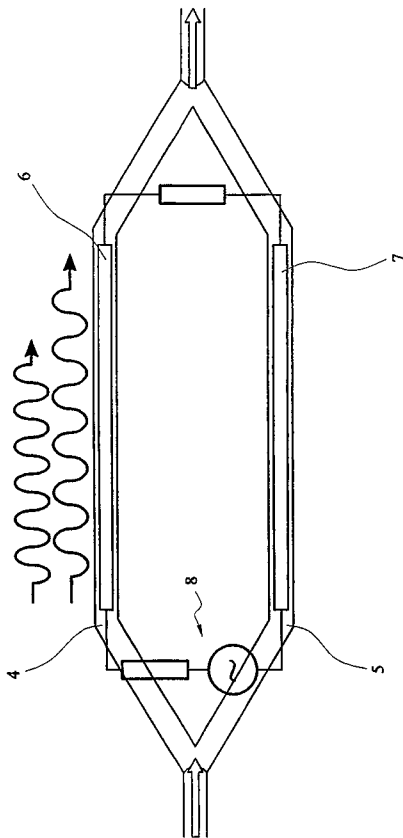
【図 1 a】



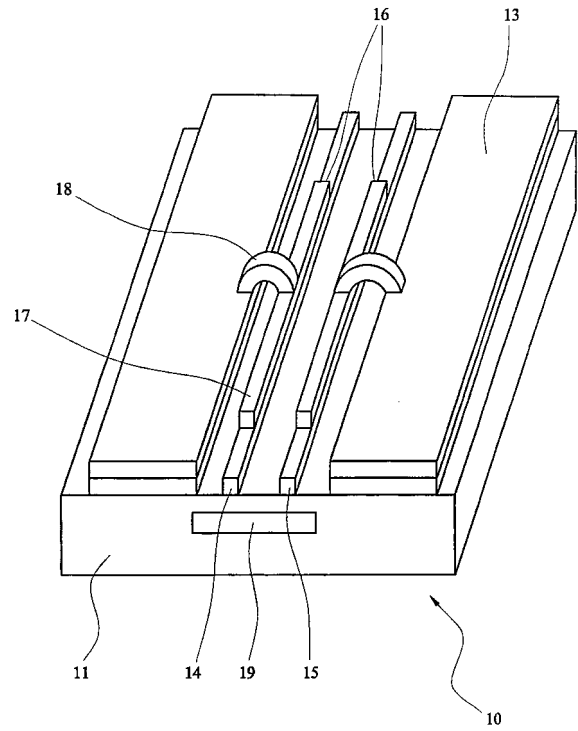
【図 1 b】



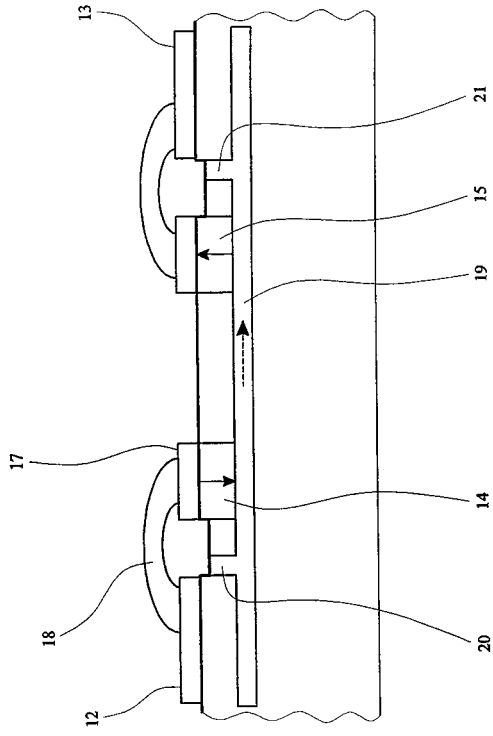
【図 2】



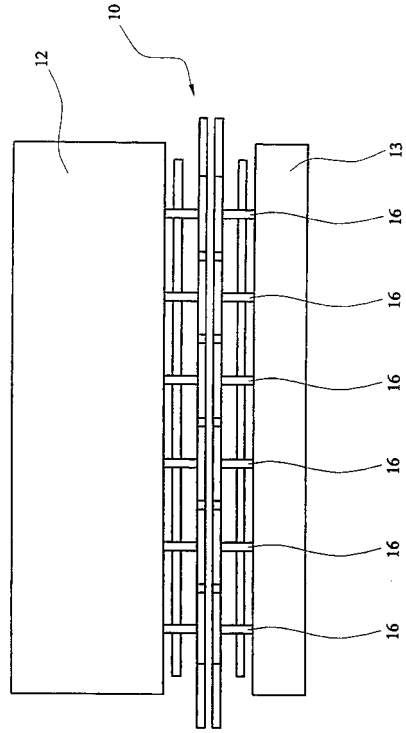
【図 3】



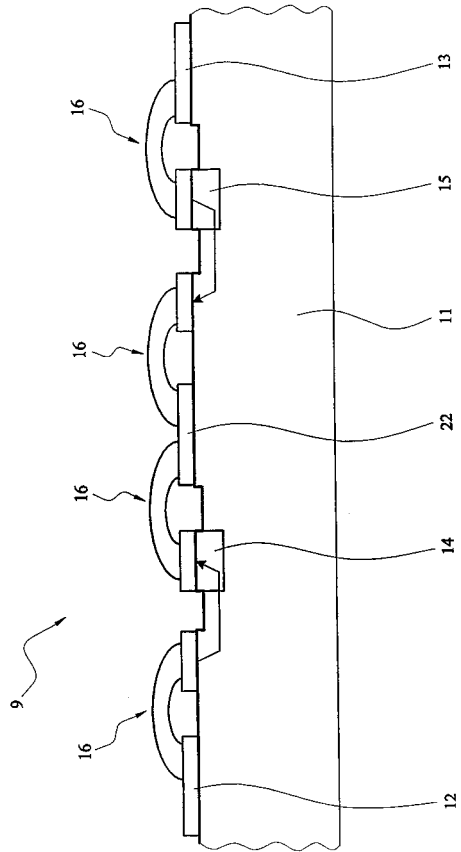
【 図 4 】



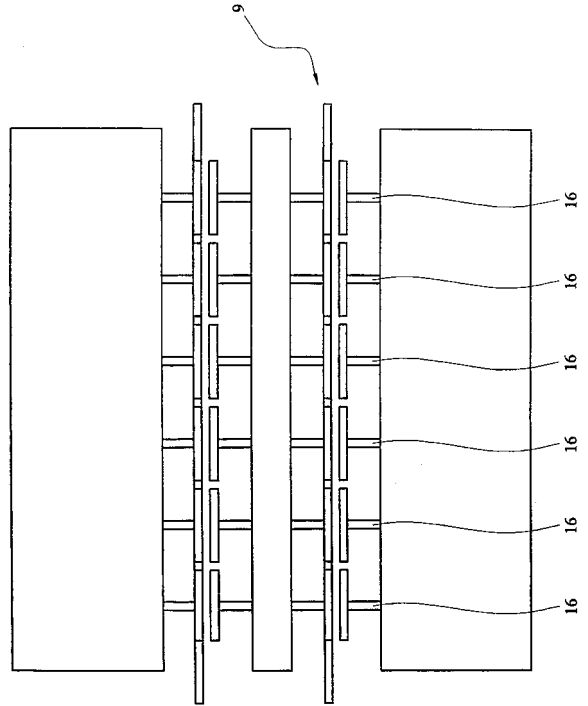
【 図 5 】



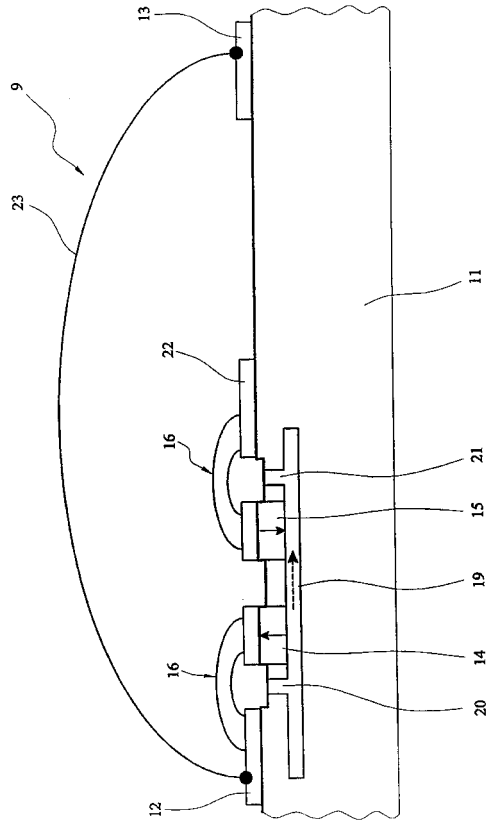
【 図 6 】



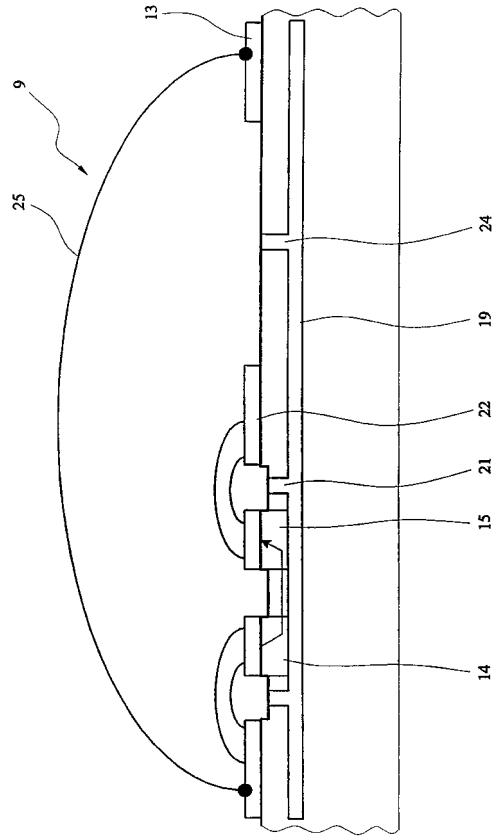
【 図 7 】



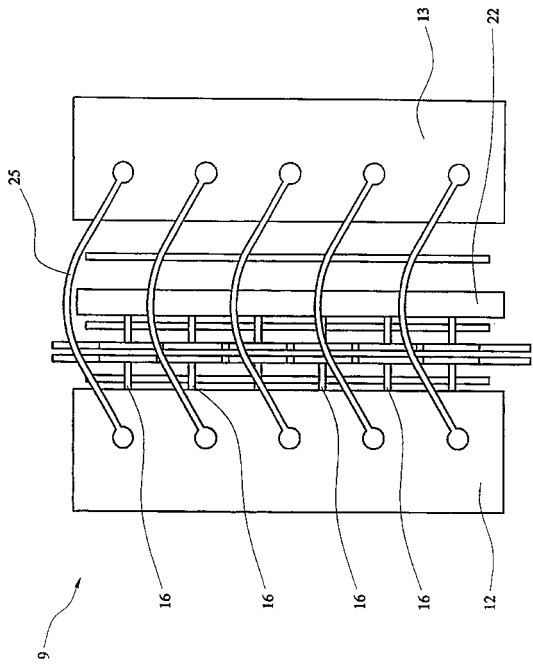
【 図 8 】



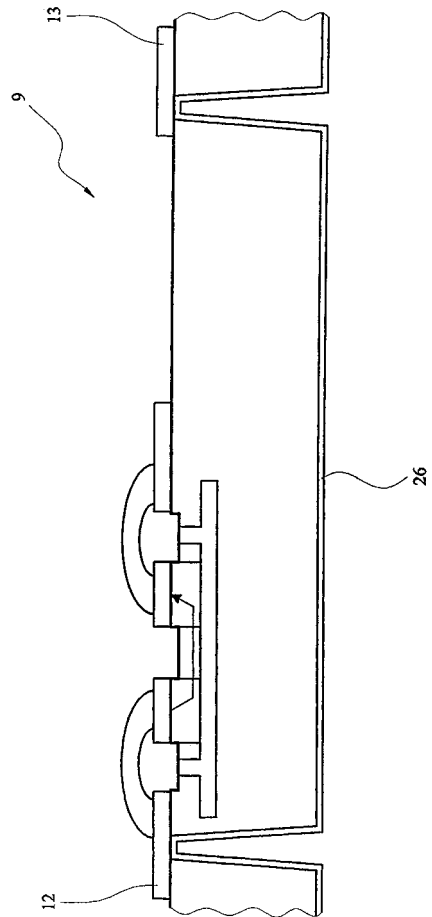
【 図 9 】



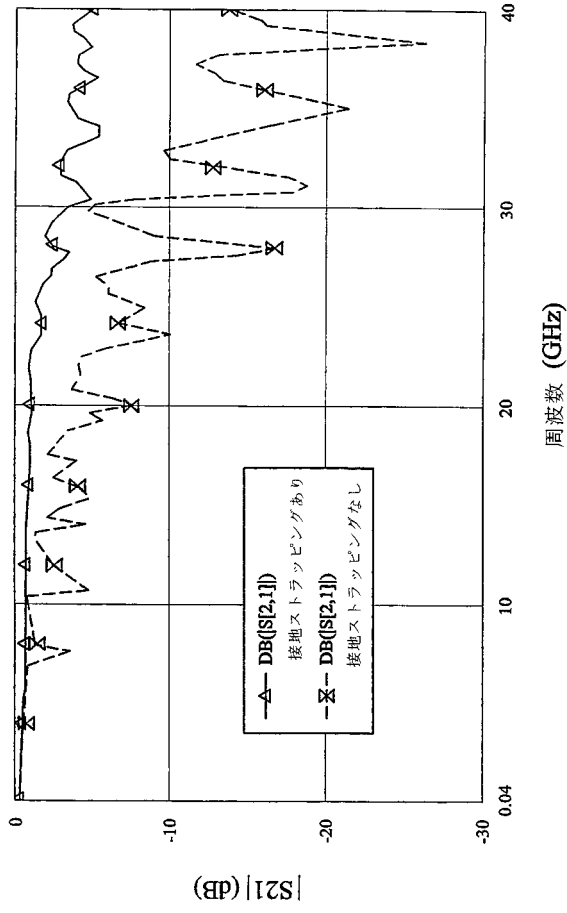
【 図 10 】



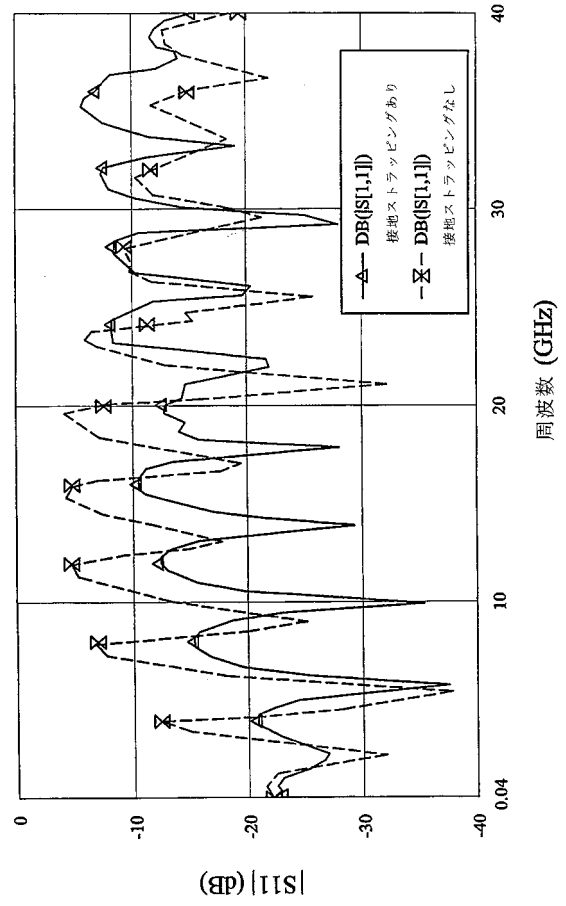
【 図 11 】



【図12】



【図13】



---

フロントページの続き

審査官 吉田 英一

(56)参考文献 英国特許出願公開第0 2 3 8 4 5 7 0 ( G B , A )

Nadir Dagli , Wide-Bandwidth Lasers and Modulators for RF Photonics , IEEE TRANSACTIONS ON MICROWAVE THEORY AND TECHNIQUES , 1 9 9 9 年 7 月 , Vol. 47, No. 7 , p. 1151 - 1171

N. Dagli, R. Spickermann, S. Sakamoto, and M. Peters , Ultra wide electrical bandwidth GaAs/AlGaAs electrooptic modulators , Microwave Symposium Digest, 1995. , IEEE MTT-S International , 1 9 9 5 年 5 月 1 6 日 , Vol. 1 , p. 251 - 254

(58)調査した分野(Int.Cl. , D B 名)

G02F 1/025